



## ژئوشیمی و کانی‌شناسی لیستونیت میزبان کانی‌سازی جیوه و مقایسه آن با انواع نابارور در ناحیه طوره، غرب شهر خوی

علی امامعلی پور<sup>\*</sup><sup>۱</sup>، مستوره یوسفی<sup>۲</sup>، مهدیه کریملو<sup>۲</sup>

(۱) گروه مهندسی معدن، دانشگاه ارومیه

(۲) دانشجوی کارشناسی ارشد رشته اکتشاف معدن، دانشگاه ارومیه

دریافت مقاله: ۱۳۹۱/۵/۲۱، پذیرش: ۱۳۹۱/۱۰/۱۱

### چکیده

دگرسانی سنگهای اولترامافیک افیولیتی، تشکیل لیستونیت و کانی‌سازی‌های همراه، از پدیده‌های جالب در فلززایی افیولیت خوی به‌شمار می‌رود. به‌نظر می‌رسد چرخه‌های گرمابی مسؤول کانی‌سازی، از سیستم‌های زمین‌گرمایی که متعاقب فعالیت آتشفسانی اسیدی تا حدواسط نئوژن-پلیئستوسن به وجود آمداند، منشأ گرفته‌اند. بازپویایی سرپانتینیت برشی با محلولهای گرمابی، به دگرسانی گرمابی سیلیسی-کربناته و تشکیل لیستونیت منجر شده است. اهمیت این دگرسانیها به‌دلیل کانی‌سازی‌های جیوه-طلای همراه آنهاست. بر پایه بررسی‌های کانی‌شناسی میکروسکوپی، آنالیزهای XRD، ویژگی‌های ژئوشیمیایی و روابط صحرابی، سه نوع لیستونیت شامل انواع سیلیسی، سیلیسی-کربناته و کربناته شناخته شده است. رخداد جیوه طوره در پیوند با لیستونیت نوع سیلیسی که بیربیریت نیز نامیده می‌شود، تشکیل شده است. زون‌های دگرسانی، کنترل ساختاری دارند و به همیریهای گسله شیل (مان) / سرپانتینیت محدود می‌شوند. از نظر کانی‌شناسی، لیستونیت سیلیسی عمدتاً از کانیهای کوارتز، کلسونی، اوپال و هیدروکسیدهای ثانوی آهن تشکیل شده است. منیزیت، دولومیت، کلسیت و کانیهای رسی از فازهای فرعی هستند. به‌سمت لیستونیت‌های سیلیسی-کربناته و کربناته، از مقدار کانیهای سیلیسی کاسته و به مقدار کانیهای کربناته افزوده می‌شود. روابط صحرابی زمین‌شناسی و وجود کانی فلزی کرم اسپینل باقی‌مانده در لیستونیت ناحیه طوره سنگ میزبان اولتابازیکی را تأیید می‌کند.

بر پایه بررسی ژئوشیمیایی، میانگین مقادیر  $\text{MgO}$ ,  $\text{Fe}_2\text{O}_3$ ,  $\text{SiO}_2$  و  $\text{L.O.I}$  به عنوان تشکیل‌دهنده‌های اصلی لیستونیت سیلیسی به ترتیب برابر  $646/2 \text{ ppm}$ ,  $517/7 \text{ ppm}$ ,  $329/1 \text{ ppm}$  و  $281 \text{ ppm}$  به دست آمده است.

در این پژوهش، تغییرات جرم (افزایش و کاهش) عناصر اصلی و فرعی در طول فرآیند دگرسانی در ناحیه طوره با استفاده از معادله Gresens مورد بررسی قرار گرفته است. لیستونیت سیلیسی سینابردار، در  $\text{SiO}_2$ ,  $\text{Al}_2\text{O}_3$ ,  $\text{K}_2\text{O}$  و  $\text{Hg}$  غنی‌شده و در  $\text{MnO}$  و  $\text{MgO}$  کاهش یافته است. نوع سیلیسی-کربناته در  $\text{CaO}$ ,  $\text{Al}_2\text{O}_3$ ,  $\text{Na}_2\text{O}$ ,  $\text{TiO}_2$ ,  $\text{K}_2\text{O}$ ,  $\text{P}_2\text{O}_5$ ,  $\text{MnO}$ ,  $\text{MgO}$ ,  $\text{Cr}_2\text{O}_3$  و  $\text{Fe}_2\text{O}_3$  کاهیدگی نشان می‌دهد. نوع کربناتی نیز در مقدار  $\text{CaO}$  و  $\text{Sr}$  افزایش، و در مقدار  $\text{Na}_2\text{O}$ ,  $\text{Al}_2\text{O}_3$ ,  $\text{MgO}$ ,  $\text{SiO}_2$  و  $\text{MnO}$  کاهش نشان می‌دهد.

**واژه‌های کلیدی:** خوی، طوره، سرپانتینیت، دگرسانی، لیستونیت، بیربیریت، تغییرات جرم، جیوه.

کنشوری با سیستم‌های گرمابی در شرایط خاص فیزیکی-شیمیایی متحمل دگرسانی سیلیسی-کربناته شده و با کانی‌زایی فلزهایی چون جیوه، طلا و آتیموان همراه می‌شوند. زمین‌شناسان روسی چنین سنگهایی را لیستونیت

### مقدمه

در فلززایی افیولیت‌ها، فرآیند دگرسانی سرپانتینیت‌ها از شمار جالبترین موضوعها برای زمین‌شناسان اقتصادی است. مجموعه‌های افیولیتی و به‌ویژه سرپانتینیت‌ها در نتیجه

در این مقاله، لیستونیت‌های کانه‌دار منطقه طوره مورد پژوهش قرار گرفته و با لیستونیت‌های فاقد کانه منطقه‌ند مقایسه شده است. منطقه مورد بررسی در شمال باختر کشور و در ۹۰ کیلومتری باختر شهرستان خوی در نزدیکی مرز ایران و ترکیه قرار دارد. دسترسی به این منطقه از طریق جاده آسفالت خوی چالدران تا سه راهی محور‌الند و سپس از روستای زاویه پس از عبور از آبادیهای جنگه سر، قزل آغل، الند و بله سور پایین امکان‌پذیر است. حدود ۶۰ کیلومتر از این مسیر آسفالت و بقیه جاده خاکی کوهستانی است.

مختصات جغرافیایی ناحیه مورد مطالعه به صورت طول جغرافیایی  $44^{\circ}16'$  تا  $44^{\circ}26'$  و عرض جغرافیایی  $38^{\circ}40'$  تا  $38^{\circ}47'$  می‌باشد (شکل ۱).

### روش کار

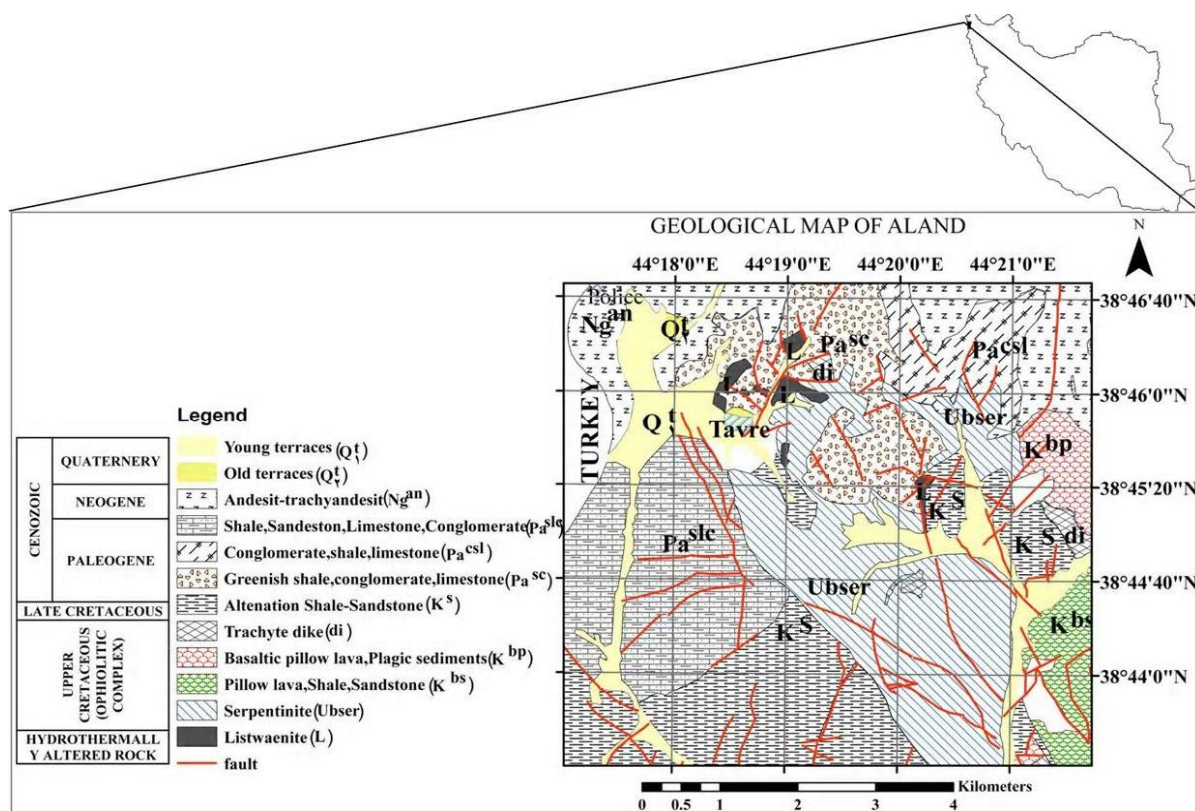
در پژوهش حاضر، با انجام بررسیهای صحرایی، وضعیت زمین‌شناسی انواع لیستونیت‌های کانه‌دار (سنگ میزان کانی‌سازی جیوه) و فاقد کانه موجود در منطقه مورد بررسی قرار گرفت. در حین بررسیهای صحرایی، تعداد ۱۷ نمونه از انواع لیستونیت‌ها و ۴ نمونه از سرپانتینیت سالم برداشت شد و تحت مطالعات پتروگرافی (بر روی ۱۵ نمونه)، کانی‌شناسی بهروش اشعه X (۱۵ نمونه) و آنالیز شیمیایی (۲۱ نمونه) قرار گرفتند. آنالیز شیمیایی نمونه‌ها برای اکسیدهای اصلی تشکیل‌دهنده سنگ به روش XRF در آزمایشگاه کانسaran بینالود، و برای عنصر کمیاب به روش ICP-MS در آزمایشگاه Amdel کشور استرالیا انجام گرفت است. مطالعه کانی‌شناسی XRD نیز با دستگاه فیلیپس مدل PW/800 در آزمایشگاه کانسaran بینالود انجام گرفت. در انجام آنالیزهای شیمیایی به روش دستگاهی XRF، عناصر اصلی و تعدادی از عنصر کمیاب و نادر خاکی با به کارگیری پودر نمونه‌های ذوب‌شده به کمک لیتیم-ترباپورات اندازه‌گیری شدند. در روش دستگاهی XRF، حد اندازه‌گیری  $10\%$  درصد وزنی برای عناصر اصلی و  $1-2 \text{ ppm}$  برای عناصر فرعی و کمیاب بوده است. آماده‌سازی نمونه‌ها برای تجزیه شیمیایی به روش ICP-MS، به روش انحلال در تیزاب سلطانی (Aqua Regia) انجام گرفته است. حد اندازه‌گیری برای عنصر جیوه  $1\text{ ppm}$ ، کبالت، مس، باریم، سرب و روی  $0.2\text{ ppm}$ ، نیکل  $0.1\text{ ppm}$ ، مولیبیدن، آنتیموان و استرانسیوم  $0.1\text{ ppm}$

می‌خوانند [۱]. در حالی که زمین‌شناسان اروپایی و امریکایی ترجیح می‌دهند که برای توصیف این سنگها از اصطلاح "دگرسانی سیلیسی - کربناته" استفاده نمایند [۲]. نزدیک به ۲۵ درصد ذخایر جیوه جهان دارای خاستگاه فوق بازی‌های افیولیتی هستند. تاکنون دهها رخداد جوان سینابر (پلیوسن-کواترنری) از مجموعه افیولیتی فرانسیسکن امریکا گزارش شده است [۳]. از دیگر کانسارهای از این دست می‌توان به کانسارهای کاله‌جیک (قره بورون ترکیه)، آق‌یاتاق (کمربند جیوه سوان - آذربایجان) و اولوچانوک (آسیای میانه) اشاره نمود [۴].

در ایران نیز تمرکزهایی از کانی‌سازی جیوه-طلاء در افیولیت‌های "ایران مرکزی" گزارش شده است که کانی‌سازی در لیستونیت‌های سیلیسی رخ داده است. لیستونیت‌های سیلیسی سرپانتینیت‌هایی هستند که مورد تهاجم سیالات  $\text{SiO}_2$  قرار گرفته‌اند و بیربیریت نامیده می‌شوند. این سنگها غنی از شکلهای مختلف سیلیس یعنی کوارتز، کلسدئن، کوارتزهای ریز جانشینی (ژاسپیروئید) شبیه چرت، اپال و اکسیدهای آهن هستند [۵، ۶ و ۷]. در گستره افیولیت خوی، سنگهای افیولیتی و بهویژه سرپانتینیت‌ها، در نتیجه کنش‌وری با سیستم‌های گرمایی، در جایگاه زمین‌شناسی و ساختاری مناسب دگرسان شده و به سنگهای لیستونیتی تبدیل شده‌اند. موتور حرارتی در این ناحیه فعالیتهای مانگمایی با ترکیب حدواتس-اسیدی است که جوانتر از افیولیت‌ها هستند و به صورت فورانهای آتش‌شانی و نفوذیهای کم‌عمق در منطقه وجود داشته و شواهدی از آنها را می‌توان در امتدا گسلها و شکستگیهای بزرگ مشاهده کرد. در نتیجه تکاپوی آتش‌شانی درجه زمین‌گرمایی زمین بالا رفته و سیستم‌های گرمایی از گرم شدن آبهای سطحی فرورو پدیدار شده‌اند و چرخه‌های گرمایی را تشکیل داده‌اند. در نتیجه واکنش این سیالات گرمایی با سنگهای اولترامافیکی سبب شست‌وشوی عنصر Ca, Mg و ... از این سنگها و تشکیل سیالات گرمایی کانه‌دار شده است. سپس این سیالات در حرکت به سمت بالا از گسلهای شکستگیها و مناطق برخشی، عناصر کانسارساز را در این مکانها نهشت می‌دهد. دگرسانی‌های لیستونیتی در برخی مناطق با کانی‌سازی جیوه همراه هستند. رخدادهای شناخته‌شده این پدیده از مناطق "خان گلی"، "بیوک دره"، "طوره" و "قورشاقلو" گزارش شده است [۴] و [۸].

مجموع عناصر در هر نوع لیستونیت به ۱۰۰ نرمال شده است. نظر به این که در این پژوهش از روش Gresens [۶] و با لحاظ عامل حجم و وزن مخصوص سنگها در طی دگرسانی استفاده شده است، لذا اقدام به اندازه‌گیری وزن مخصوص تعداد ۴ نمونه معرف مربوط به سرپانتینیت سالم (سنگ مادر دگرسانی)، لیستونیت سیلیسی، لیستونیت سیلیسی-کربناته و لیستونیت کربناته گردید.

آرسنیک  $0.5 \text{ ppm}$  و طلا  $0.001 \text{ ppb}$  می‌باشد. خطای آزمایشگاهی حدود  $5 \pm 2$  درصد به ترتیب برای عناصر اصلی و کمیاب گزارش شده است. مقدار L.O.I (Total Loss on Ignition) پس از حرارت دهی نمونه‌ها در ۱۰۰۰ درجه سانتی‌گراد به مدت یک ساعت و مقایسه وزن قبل و بعد از حرارت دادن آن به دست آمد. نتایج تجزیه شیمیایی مورد استفاده در این پژوهش، در جدول ۱ ارائه شده است. در این جدول، برای سهولت در استفاده از فرمول Gresens،



شکل ۱. نقشه زمین‌شناسی منطقه مورد مطالعه

لیستونیت‌های خوی را می‌توان به سه نوع لیستونیت سیلیسی، سیلیسی-کربناته و کربناته تقسیم کرد. از میان این سه نوع، تنها لیستونیت سیلیسی با کانی‌سازی جیوه همراه است. تمام این رخدادها کنترل ساختاری دارند، آن‌چنان‌که دگرسانی و انباشت کانه‌ها، در تمام رخدادهای شناخته، در همبrijی تکتونیکی سرپانتینیت/شیل، سرپانتینیت/کنگلومرا و سرپانتینیت/ملانژ و بهسوی سرپانتینیت‌های برشی شده، روی داده است [۴]. سنگ اولیه لیستونیت در منطقه سرپانتینیت است. سنگ مادر سرپانتینیت یاد شده نیز پریدوتیت (هارزبورزیت) گوشتیای است. در واقع سرپانتینیت‌های منطقه

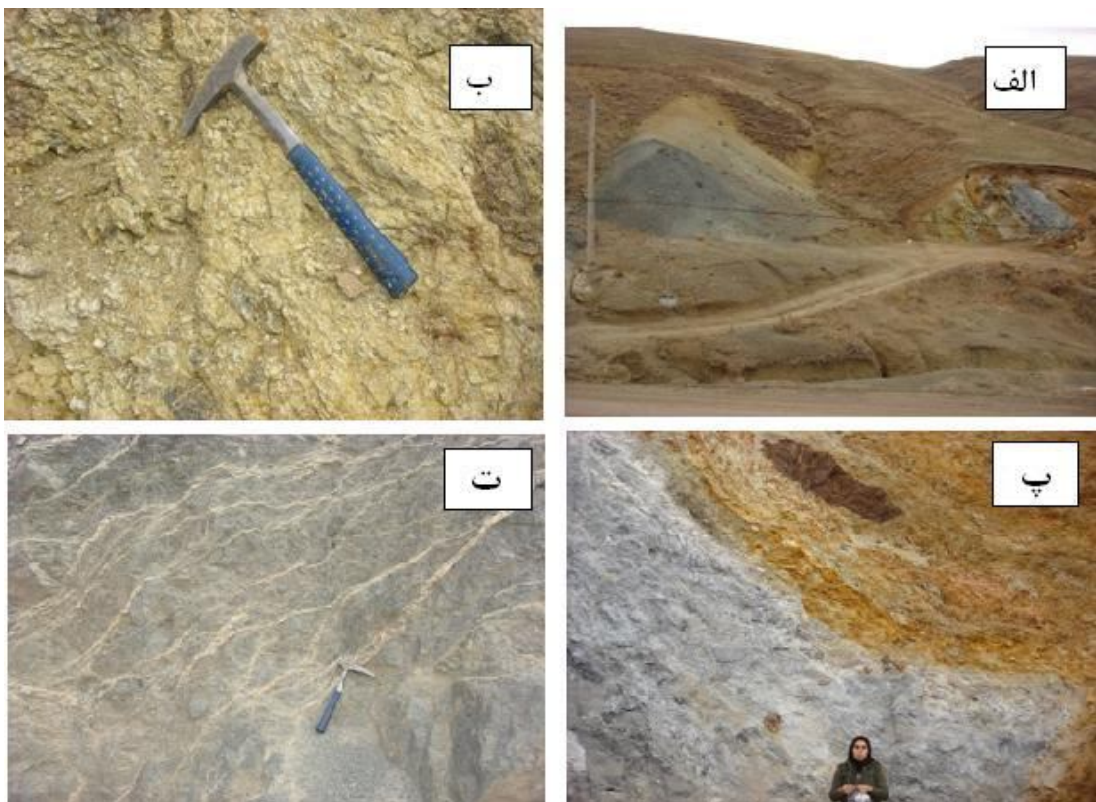
## بحث و بررسی زمین‌شناسی لیستونیت‌ها

لیستونیت‌ها به صورت رگ، تکه‌ها و قطعات نامنظم در امتداد گسلهای قطع کننده سنگهای اولترامافیکی و یا در همبrijی آنها با سنگهای دیگر تشکیل شده‌اند (شکل ۲ الف تا ت).

بعد مناطق لیستونیتی به شدت متغیر است، به طوری که ضخامت آنها از حدود چند متر تا حدود ۲۰۰ متر تغییر می‌کند، ولی ضخامت‌های ۱۰-۵۰ متری معمول است. طول آنها نیز از حدود چند ده متر تا چند صد متر تغییر می‌کند. بررسیهای انجام‌گرفته توسط [۸] نشان داده است که

انحراف معیار به ترتیب برابر با  $/47 \pm .97$  و  $/8 \pm .74$  درصد)، و از نظر عناصر دیرگذار همچون کروم پرمایه‌اند [۱۰]. گذر از زون لیستونیت به سرپانتینیت مشخص است و با دور شدن از زون‌های گسله که دگرسانی و کانی‌زایی را کنترل نموده‌اند، از شدت دگرسانی کاسته می‌شود و در نهایت به سرپانتینیت سالم (نادگرسان) می‌رسد [۴].

بخشی از اولترامافیک‌های گوشه‌های مربوط به افیولیت خوی هستند. از نظر ژئوشیمیایی، هارزبورزیت افیولیت خوی که در برخی موارد میزبان نهشته‌های کرومیتی نیز هست، ویژگی‌های پریدوتیت‌های تهی شده را به خوبی نشان می‌دهد، به‌گونه‌ای که محتوای عناصر زودگذار آنها همانند  $\text{Al}_2\text{O}_3$  و  $\text{CaO}$  بسیار پایین (دامنه تغییرات میانگین با در نظر گرفتن



شکل ۲. (الف) لیستونیت سیلیسی و سرپانتینیت. (ب) سرپانتینیت برشی (نگاه به سمت شمال). (پ) لیستونیت سیلیسی. (ت) رگه‌های منیزیتی در منطقه طوره (نگاه به سمت شمال).

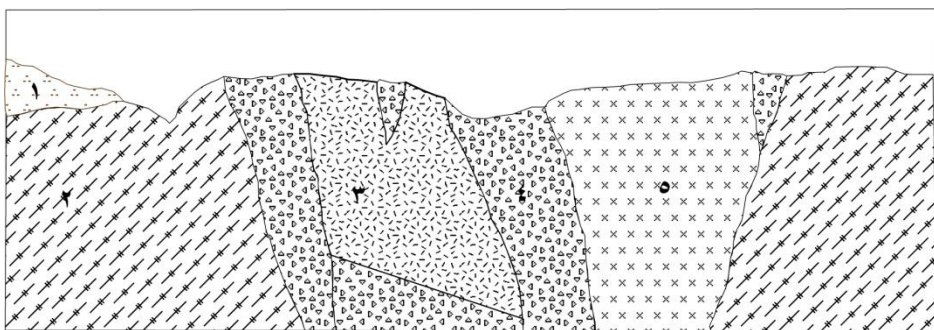
پدیدار شده است. در راستای این گسل، ستگهای سرپانتینیتی بر روی سنگهای شیلی-مارنی پالتوسن رانده شده‌اند. به‌سوی شرق سنگهای فلیشی و نیز بازالت‌های زیردریایی گسترش دارند. در سمت شمال نیز سنگهای آتشفسانی جوان (ئوژن) که تمام سنگهای یاد شده را قطع نموده است، رخنمون دارند. سرانجام باید از واحد سنگی ساب ولکانیکی اسیدی-حد بواسطه متعلق به ئوژن در شمال طوره و در ارتفاعات مشرف به منطقه بابانور نام برد.

در منطقه "طوره"، زون دگرسانی راستای شمال خاوری-جنوب باختری دارد، اما رگه‌های سینابر هم در راستای

منطقه طوره یکی از مناطق جالب توجه از نظر رخداد دگرسانی لیستونیتی و کانی‌سازی جیوه است. زون دگرسانی در یکی از سرشاخه‌های رودخانه الند قرار گرفته و حدود  $0^{\circ}40'$  کیلومترمربع گسترش دارد. مهمترین واحدهای سنگی این منطقه سرپانتینیت برشی است که در همبُری تکتونیکی با مارن و شیل پالتوسن قرار گرفته است (شکل ۱). روند ساختاری این سنگها جنوب خاوری-شمال باختری است که ادامه آن به مرز ایران و ترکیه در جنوب آبادی طوره می‌رسد. در اطراف آبادی طوره به‌دلیل گسترش نهشته‌های شیلی و مارنی و فرسایش‌پذیری زیاد آنها، مورفولوژی تپه ماهوری

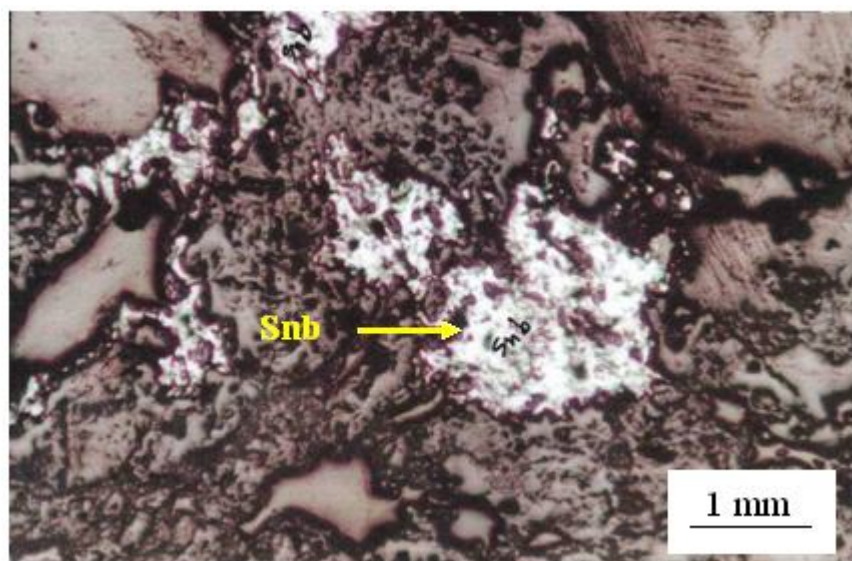
و نارنجی که حاصل فرآیند سیلیسی‌شدن به اضافه هیدروکسیدهای آهن است، قابل مشاهده است. شکل ۳ برش زمین‌شناسی ساده شده‌ای از منطقه لیستونیتی کانه‌دار طوره را نشان می‌دهد. همچنین تصویری از کانسنگ سینابر و مقطع میکروسکپی آن در شکلهای ۴ و ۵ آورده شده است.

یادشده و هم در راستای شمال باختری، در جابه‌جاییهای حاصل از گسلهای فرعی معکوس پدیدار شده‌اند [۹]. این گسلها در حقیقت محل بیشترین فعالیت و تمرکز سیالات لیستونیت‌ساز بوده‌اند. بافت کانی‌سازی، رگه-رگه‌چهای و پرکننده فضاهای خالی است. زون دگرسانی به رنگهای روشن



هستند و تشکیل آنها با مانگماهای بونینیتی در ارتباط است که در یک خاستگاه سوپراسباداکشنی روی داده است [۱۰]. به علاوه، در برخی موارد، کانیهای ثانویه‌ای همچون کربنات (کلسیت یا دولومیت) نیز در سرپانتینیت‌های هوازده تشکیل شده است.

در برخی نمونه‌ها به چشم می‌خورد. بر اساس مطالعاتی که پیرامون کرومیت‌های ناحیه الد صورت گرفته است، ترکیب شیمیایی آنها از نظر محتوی  $\text{Cr}_2\text{O}_3$  و عدد کرم معرف کرومیت‌های افیولیتی غنی از کروم است. بر پایه ویژگیهای ژئوشیمیایی، کروم اسپینل‌های این ناحیه از نوع آپی (ابانی)



شکل ۵. کانی‌سازی جیوه در مقطع میکروسکوپی (بخشهای سفید رنگ تصویر).

است. در مقاطع میکروسکوپی، این سنگ شامل قطعات خردشده سرپانتین در اندازه‌های مختلف است که در زمینه‌ای متتشکل از هیدروکسیدهای آهن، کانیهای اوپاک و به مقدار زیادی اوپال (از نظر نوری ایزوتروپ) قرار دارند. در تمام نمونه‌های لیستونیتی مطالعه شده، اوپال فاز اصلی تشکیل دهنده است، تفاوت در این نمونه‌ها به مقدار نسبی اوپال، کلسدونی، کانیهای اوپاک و همچنین بقایا یا شبح کانیهای اولیه است. در یک نمونه مطالعه شده که از زون کانه‌دار برداشته شده است، حدود ۹۵ درصد سنگ از اوپال تشکیل یافته است و باقی مانده نمونه شامل سه درصد کوارتز ریز بلورین (کلسدونی) و حدود دو درصد کانیهای اوپاک به صورت پراکنده است. در یک نمونه دیگر که از مجاورت رگه‌های سینابردار گرفته شده است، مقدار ۸۵ درصد سنگ اوپال بوده و کانیهای اوپاک حدود ۱۰ درصد و مقدار کوارتز ریز بلور به حدود ۷-۵ درصد می‌رسد (شکل ۶ ت).

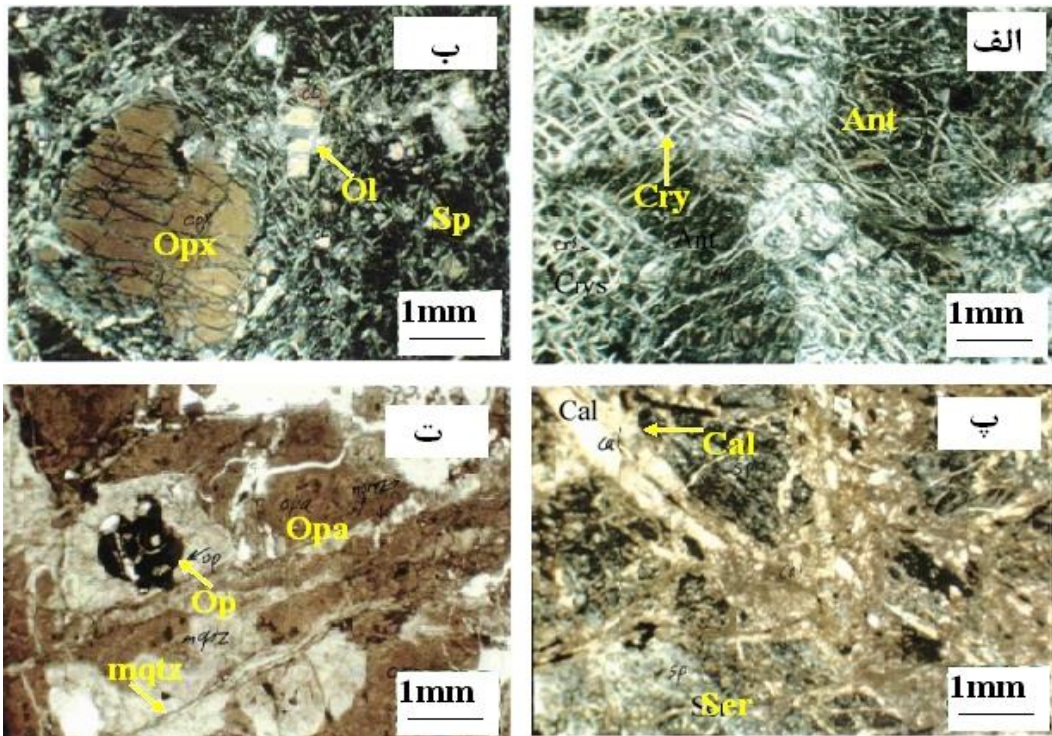
مطالعه کانی‌شناسی به روش XRD نیز این سیلیسی شدن شدید سنگ میزان کانی‌سازی را تأیید می‌کند. دیفراکتوگرام

همچنان که گفته شد، سه نوع لیستونیت کربناته، سیلیسی-کربناته و سیلیسی در ناحیه خوی شناسایی شده است. از نظر ترکیب کانی‌شناسی، نوع نخست به طور عمده از کانیهای کلسیت، دولومیت و منیزیت تشکیل شده است (شکل ۶ پ). کانیهای تالک، سیدریت و پیریت با آنها همراهند. ترکیب لیستونیت‌های کربناته متغیر است، به طوری که برخی از آنها اساساً از کلسیت، برخی دیگر از منیزیت و برخی نیز از دولومیت و منیزیت تشکیل شده‌اند. رنگ این لیستونیت‌ها سفید تا زرد نخودی است (شکلهای ۲ الف و پ).

لیستونیت‌های سیلیسی، با مجموعه کانی شناسی کوارتز، کریستوبالیت، فازهای آمورف سیلیس، اکسیدهای آبدار آهن و به مقدار کمتر کلسیت، منیزیت، دولومیت، تالک، پیریت و کانیهای رسی شناخته می‌شوند. دگرسانی سیلیسی سرپانتینیت‌ها، آنها را به سنگهای اوپالین تبدیل کرده است که در آن فازهای آمورف سیلیس، فاز غالب است. این سنگ در واقع یک سنگ متابوماتیک اوپالی است، به طوری که بخش اعظم سنگ به اوپال و یا فازهای ریز بلور سیلیس تبدیل شده

منیزیت و کلسیت آنها را همراهی می‌کنند. نظر به این‌که مقدار کانی سینابر در این سه نمونه کمتر از دو درصد بوده است، در دیفراکتوگرام مربوط به آنها ظاهر نشده است.

مربوط به دو نمونه مطالعه شده از این سنگها در شکل‌های ۷ و ۸ نشان داده شده است. اوپال و کلسیدونی فازهای اصلی تشکیل‌دهنده این سنگها هستند و کانیهایی همچون گوتیت،



شکل ۶. تصویر میکروسکوپی (الف) کانی سرپانتین، کریزوتیل (Ant) و آنتی‌گوریت (Crys) و آنتی‌گوریت (Ant). (ب) سرپانتین کانیهای اولیه را در برگرفته، سرپانتین، اولیوین (Ol) و اوتوپیروکسن (Opx). (ت) اوپال (Op)، اپک (Opa)، کوارتز میکروکریستالین (mqtz). (پ) لیستونیت کربناته، کلسیت (Cal)، سرسیت (Ser).

آرژیلیک پیدا می‌کند. از نظر کانی‌شناسی، مرزی مشخص بین انواع لیستونیت‌های یاد شده دیده نمی‌شود، به‌گونه‌ای که لیستونیت‌های سیلیسی - کربناته نیز حاوی کانیهای شاخص می‌دهند. کانی‌سازی جیوه در تمام رخدادهای شناخته شده با انواع سیلیسی همراه است.

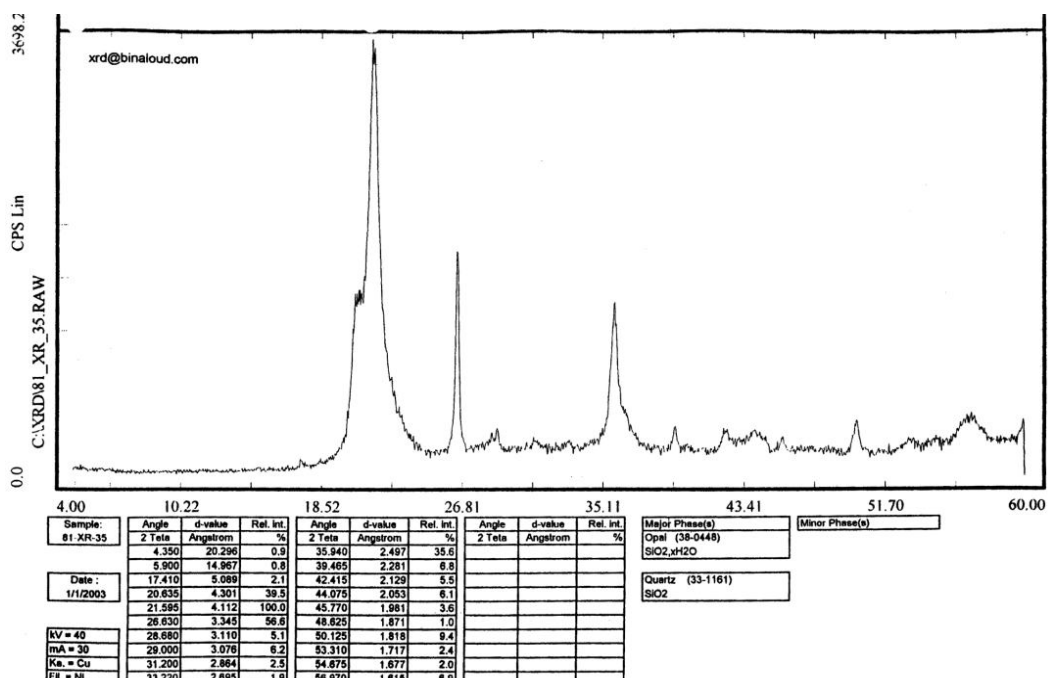
### ژئوشیمی سنگ میزبان اولترامافیکی

میانگین اکسیدهای اصلی و برخی از عناصر کمیاب در تعداد چهار نمونه هارزبورژیت سرپانتینی (تا سرپانتینیت) برداشته شده از خارج از مناطق دگرسان در جدول ۱ نشان داده شده است. اکسیدهای اصلی  $\text{SiO}_2$ ،  $\text{MgO}$  و  $\text{Fe}_2\text{O}_3$  به ترتیب با ۳۴/۷۵، ۳۷/۷۰ و ۸/۳۷ درصد اصلی ترین تشکیل‌دهنده این سنگ هستند. میانگین درصد مواد فرار ۱۳/۱۶ درصد می‌باشد.

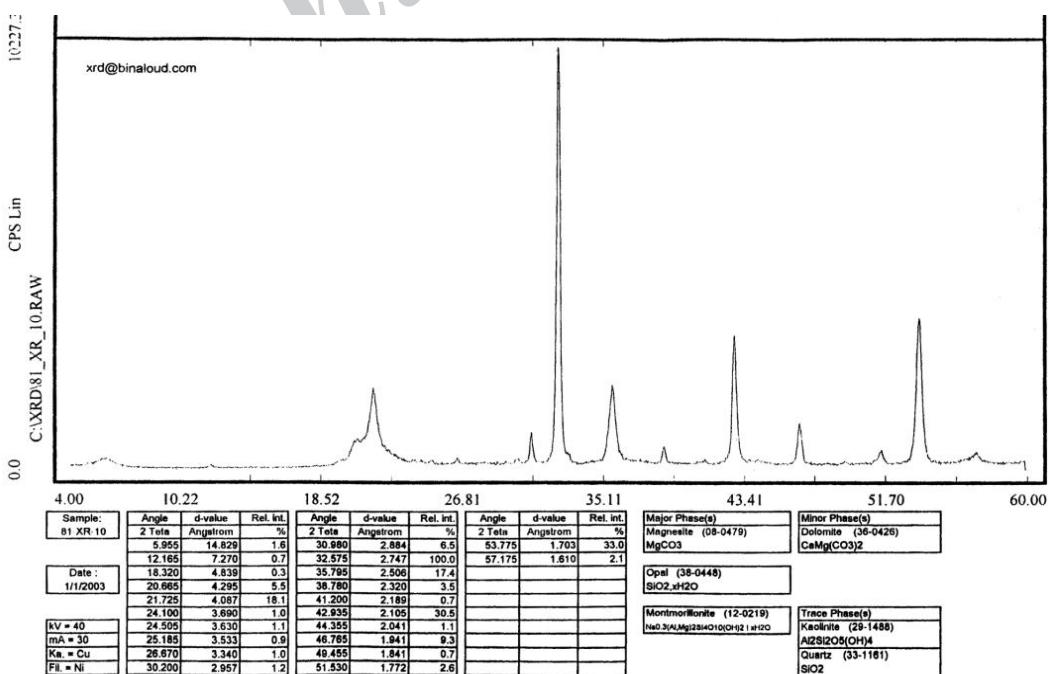
لیستونیت‌های سیلیسی - کربناته نیز حاوی کانیهای شاخص منیزیت، دولومیت، تالک، کوارتز کلسیت و سیدریت هستند. پیریت به عنوان فراوانترین کانی سولفوری در برخی از نمونه‌ها حضور دارد. در برخی موارد، فراوانی کانیهای کربناته (منیزیت، دولومیت و کلسیت) آنچنان بالاست که می‌توان آنها را از نوع لیستونیت کربناته نامید. در واقع در این منطقه زونینگ یا منطقه‌بندی را در لیستونیت می‌توان مشاهده کرد، به این ترتیب که در مرکز زون لیستونیتی، از نظر کانی‌شناسی، لیستونیت از نوع سیلیسی یا بیربریت است، به سمت بیرون بر مقدار کربنات افزوده می‌شود و لیستونیت به نوع سیلیسی - کربناته تبدیل می‌شود. نوع کربناته در این منطقه به ندرت دیده می‌شود. از نظر منطقه‌بندی همچنین از مرکز سیستم به سمت بیرون بر میزان کانیهای رسی و اکسیدهای آهن افزوده می‌شود و زون دگرسانی بیشتر ماهیت

نیکل عنصر فلزی دیگری است که فراوانی قابل ملاحظه‌ای در این سنگها دارد و میانگین آن به  $250.9 \text{ ppm}$  می‌رسد. مقدار جیوه  $3/33 \text{ ppm}$  و مقدار طلا  $2 \text{ ppb}$  گزارش شده است. در میان انواع سنگها، زمینه ژئوشیمیایی جیوه در سرپانتینیت‌های افیولیتی بیشترین مقدار را دارد، به‌طوری‌که این مقدار در سنگهای یاد شده برابر  $3 \text{ ppm}$  توسط [۳] گزارش شده است.

مجموع هشت اکسید اصلی دیگر به  $1/1$  درصد می‌رسد. هارزبیورژیت‌های میزان، ویژگیهای پریدوتیت‌های تهی شده را نشان می‌دهند؛ به‌طوری‌که محتوای عناصر زودگاز آنها نظیر  $\text{CaO}$  و  $\text{Al}_2\text{O}_3$  بسیار پایین است (به‌ترتیب با مقدار  $0/33$  و  $0/25$  درصد) و از نظر عناصر دیرگذاری همچون  $\text{Cr}$  پرمایه (به‌طور میانگین برابر  $749 \text{ گرم در تن}$ ) است. علاوه بر کروم،



شکل ۷. تصویر دیفراکتوگرام مربوط به یک نمونه سیلیسی



شکل ۸. تصویر دیفراکتوگرام مربوط به یک نمونه سیلیسی

جدول ۱. میانگین ترکیب شیمی ا نوع لیستونیت‌ها و سرپانتینیت سالم به همراه وزن مخصوص مربوط به هر کدام از آنها در افیولیت‌های منطقه طوره (n تعداد نمونه‌هاست).

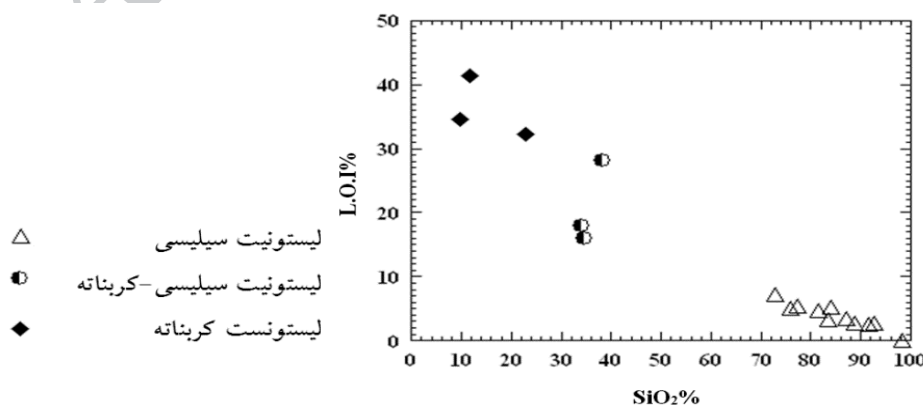
تیپ سنگ	سرپانتینیت (n=۴) سالم	لیستونیت جیوه‌دار (n=۱۰)	لیستونیت سیلیسی (n=۱۱)	لیستونیت سیلیسی - کربناته (n=۳)	لیستونیت کربناتی (n=۳)
وزن مخصوص	۲/۶۷		۲/۰۷	۲/۵۰	۲/۸۵
SiO <sub>2</sub> (wt%)	۳۷/۷۰	۹۱/۷۶	۸۲/۶۰	۳۴/۶۶	۱۶/۵۸
TiO <sub>2</sub>	۰/۰۱	۰/۰۱۷	۰/۰۲	۰/۱۴	۰/۰۱
Al <sub>2</sub> O <sub>3</sub>	۰/۳۳	۰/۵۶	۰/۹۶	۲/۱۵	۰/۲۶
Fe <sub>2</sub> O <sub>3</sub>	۸/۳۷	۴/۲۱	۶/۹۹	۹/۷۰	۷/۲۱
Cr <sub>2</sub> O <sub>3</sub>	۰/۳۲	۰/۲۱۷	۰/۵۰	۰/۳۱	۰/۲۳
MnO	۰/۱۱	۰/۰۰۷	۰/۰۴	۰/۱۵	۰/۱۰
MgO	۳۴/۷۵	۰/۳۶	۱/۰۲	۲۱/۴۶	۲۰/۳۱
CaO	۰/۲۵	۰/۲۲	۰/۸۲	۸/۱۷	۱۵/۹۸
Na <sub>2</sub> O	۰/۰۴	۰/۰۱	۰/۰۴	۰/۱۲	۰/۰۲
K <sub>2</sub> O	۰/۰۱	۰/۰۹	۰/۰۲	۰/۱۰	۰/۰۱
P <sub>2</sub> O <sub>5</sub>	۰/۰۲	۰/۰۳۲	۰/۰۲	۰/۰۳	۰/۰۲
L.O.I	۱۳/۱۶	۲/۵۱	۳/۷۴	۲۰/۱۸	۳۵/۳۱
S(ppm)	۱۷۱/۴۹	۱۸۷	۲۸۱/۰۶	۱۴۰/۴۸	۸۷/۳۷
Cl	۵۷۶/۳۴	۳۴	۶۱/۲۳	۱۰۶/۷۴	۴۸/۹۶
V	۴۵/۸۶	۵۴	۳۸/۰۸	۵۱/۹۱	۴۹/۹۲
Co	۱۰۸/۲۰	۸/۰۳	۶۴/۵۹	۹۳/۷۶	۶۸/۱۷
Ni	۲۵۰/۹/۵۵	۱۸۳۲	۹۱۸/۱۰	۲۰۲۹/۷۲	۱۴۴۰/۱۳
Cu	۱۰/۹۹	۱۷/۵۱	۲۰/۸۵	۲۵/۳۱	۱۸/۷۲
Zn	۳۰/۰/۹	۲۷	۵۶/۲۸	۳۶/۰۱	۲۶/۸۸
Rb	۴۱/۲۳	۱۸	۲۷/۰۷	۱۳/۶۳	۲۱/۶۰
Sr	۴۱/۳۲	۱۵۹	۳۶/۵۸	۱۵۴/۴۴	۲۰۹۷/۳۱
Y	۳/۵۸	۲	۳/۸۹	۷/۱۴	۳/۳۶
Nb	۱۰/۲۷	۱۲	۵/۲۱	۹/۴۱	۱۸/۲۴
Ba	۱۴/۵۷	۴۷/۶۹	۳۵/۴۳	۶۱/۹۷	۱۵/۸۴
Pb	۱۵/۰/۲	۲۳	۵۱۷/۷۶	۳۹/۵۸	۲۰/۶۴
Zr	۲۳/۴۱	۳۱	۱۷/۵۸	۴۰/۲۳	۴۵/۱۲
As	۵/۴۹	۶	۳۲۹/۱۲	۲۲/۰۶	۸/۷۱
Cr	۷۴۹/۰/۲	۱۳۳/۳۵	۱۱۷/۷۴	۲/۸۳	۳/۲۱
Hg	۲/۳۰	۳۳۳۲/۴۱	۶۴۶/۲۱		
Mn	۵۸۵/۶۵	۵۶	۲۹/۷۸		
Mo	۰/۹۶	۱/۴	۲/۲۵		
Sb	۳/۰۶	۱۱/۷	۱۵/۲۳		
Au(ppb)	۲	۱۰۷/۰۶	۵۹/۷۱		
جمع	۱۰۰/۰۰	۱۰۰/۰۰	۱۰۰/۰۰	۱۰۰/۰۰	۱۰۰/۰۰

کربناته و ۳ نمونه از لیستونیت کربناته، نمونه‌برداری شده است. میانگین ترکیب شیمیایی نمونه‌های مربوط به هر تیپ سنگ به‌همراه جرم مخصوص هر کدام از آنها در جدول ۱ آورده شده است. میانگین اکسیدهای  $\text{Fe}_2\text{O}_3$ ,  $\text{SiO}_2$ ,  $\text{MgO}$  و  $\text{L.O.I}$  به عنوان سازندگان اصلی لیستونیتهای سیلیسی به ترتیب برابر  $82/6$  درصد،  $6/99$  درصد،  $1/02$  درصد و  $3/7$  درصد به‌دست آمده است. میزان  $\text{Al}_2\text{O}_3$  حدود یک درصد و بقیه اکسیدهای اصلی ناچیز است. میانگین مقدار  $\text{Cr}_2\text{O}_3$  برابر  $0/5$  درصد می‌باشد که نشانه‌ای از سنگ مادر اولترامافیکی آن  $\text{As}$ ,  $\text{Pb}$ ,  $\text{Hg}$ ,  $\text{S}$  در لیستونیت سیلیسی به ترتیب برابر با  $646/2$  ppm,  $5/29$  ppm,  $517/7$  ppm و  $5/1$  ppm به‌دست آمده است. مقدار بالایی برابر  $918/1$  ppm دارد که می‌توان گفت از سنگ مادر سرپانتینیتی به ارث برده است. میانگین طلا در این سنگها برابر با  $59/7$  ppb به‌دست آمده است. در لیستونیتهای سیلیسی-کربناته میانگین اکسیدهای اصلی  $34/7$  L.O.I,  $\text{CaO}$ ,  $\text{MgO}$ ,  $\text{Fe}_2\text{O}_3$ ,  $\text{SiO}_2$  درصد،  $9/7$  درصد،  $21/5$  درصد،  $8/2$  درصد،  $20/2$  درصد به‌دست آمده است.  $\text{Ni}$ ,  $20/29$  ppm  $\text{Sr}$  و  $154/4$  ppm نیز مقدار بالایی دارند. در لیستونیتهای کربناته مقدار میانگین اکسیدهای اصلی  $\text{SiO}_2$ ,  $\text{Fe}_2\text{O}_3$ ,  $\text{MgO}$ ,  $\text{CaO}$  و  $\text{L.O.I}$  به ترتیب برابر با  $16/58$  درصد،  $7/21$  درصد،  $15/98$  درصد و  $35/31$  درصد و مقدار  $\text{Ni}$  و  $\text{Sr}$  نیز به ترتیب برابر  $1440$  ppm و  $20/97$  ppm به‌دست آمده است.

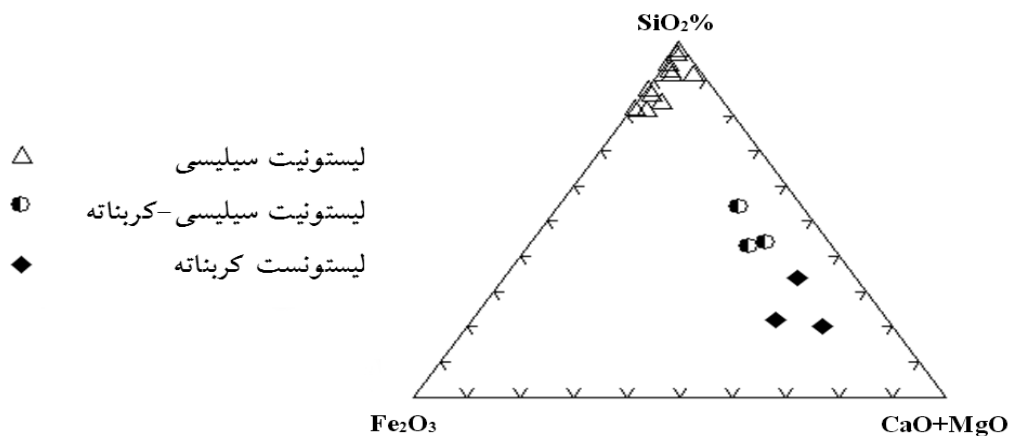
بیشتر زمین‌شناسان، افیولیت‌های تیپی را به دو نوع مدیترانه‌ای خاوری و باختری که ویژگی‌های ناهمسانی را در ژئوشیمی بازالت‌ها، کانی‌شناختی پریدوتیت‌ها و نیز حضور و یا عدم حضور انباسته‌های کرومیتی بهنمایش می‌گذارند، بخش نموده‌اند. مطالعات انجام‌گرفته در ارتباط با ژئوشیمی افیولیت‌های مدیترانه‌ای توسط محققان گوناگون گویای آن است که پریدوتیت‌های مدیترانه‌ای خاوری از نظر عنصری که در روند ذوب‌بخشی به فاز مایع وارد می‌شوند، نظیر  $\text{Ca}$  و  $\text{Al}$  به‌شدت تهی شده‌اند، و بر عکس از نظر عنصر دیرگدازی نظیر  $\text{Cr}$  غنی‌شده‌گی نشان می‌دهند. بنابراین هارزبورژیت‌های ناحیه خوی از نوع تهی شده‌اند و با پریدوتیت‌های افیولیت‌های سمعیل (عمان)، ترودوس (قبرس) و ورینوس (یونان) قابل مقایسه‌اند [۴].

### ژئوشیمی لیستونیت‌ها

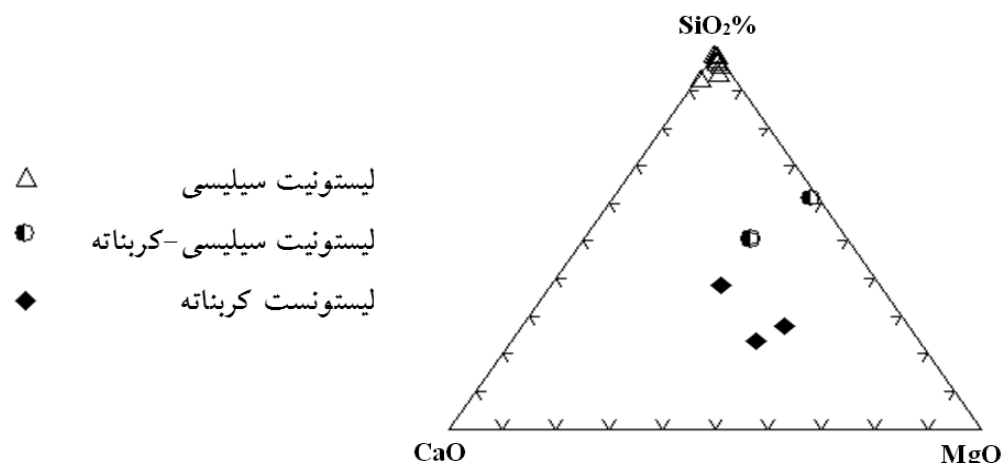
از مهمترین پارامترها برای تعیین انواع لیستونیت‌ها میزان  $\text{SiO}_2$  و  $\text{L.O.I}$  در آنهاست. به طوری که لیستونیت سیلیسی میزان  $\text{SiO}_2$  بالا و  $\text{L.O.I}$  پایین دارد و لیستونیت کربناته  $\text{L.O.I}$  بالا و  $\text{SiO}_2$  پایین دارد. لیستونیت سیلیسی کربناته حد وسط دو نوع بالایی است. در این پژوهش برای تعیین نوع لیستونیت کل نمونه‌ها از نمودار دوتایی  $\text{SiO}_2$ - $\text{L.O.I}$  استفاده شد که در نهایت مشخص شد،  $11/2$  CaO-MgO نمونه از لیستونیت سیلیسی،  $3$  نمونه از لیستونیت سیلیسی-این نمودارها در شکلهای  $9$ ،  $10$  و  $11$  آورده شده است.



شکل ۹. این شکل انواع لیستونیت‌ها را بر حسب درصد  $\text{SiO}_2$  و  $\text{L.O.I}$  نشان می‌دهد. نوع سیلیسی  $\text{SiO}_2$  بالا و  $\text{L.O.I}$  پایین دارد. نوع کربناته  $\text{SiO}_2$  کم دارد و نوع سیلیسی-کربناته حد وسط دو نوع دیگر است.



شکل ۱۰. نمودار سه‌تایی  $\text{SiO}_2\text{-Fe}_2\text{O}_3\text{-CaO+MgO}$ . در این شکل لیستونیت‌های کربناتی به قطب  $\text{CaO+MgO}$  نزدیکترند و نوع سیلیسی به قطب  $\text{Fe}_2\text{O}_3$  نزدیکترند.



شکل ۱۱. این نمودار انواع لیستونیت کربناتی نوع منیزیتی را از کربناتی نوع دولومیتی متمایز می‌کند، نوع دولومیتی به  $\text{CaO}$  و نوع منیزیتی به قطب  $\text{Mg}$  نزدیکتر است.

(Gresens equation) Gresen ضمن دگرسانی از معادله [۱۲ و ۱۳] که به صورت زیر بیان می‌شود، استفاده شده است.

$$\Delta Xn = [FV^* X_B * (G_B / G_A) - X_A]$$

$\Delta Xn$  : افزایش یا کاهش جرم عنصر  $n$

$FV$  : نسبت حجم سنگ آلتراه به سنگ مادر ( $v_A/v_B$ )

$X_B$  و  $X_A$  : درصد وزنی عنصر  $n$  در سنگ مادر A و سنگ آلتراه

$G_A$  و  $G_B$  : وزن مخصوص سنگ آلتراه و سنگ مادر

بررسی تغییر جرم در مطالعاتی که تاکنون صورت گرفته آلتراسیون را یک فرآیند حجم ثابت که مبتنی بر حفظ بافت مش سرپاپنتینیت است در نظر گرفته‌اند، اما باید توجه کرد که این فرآیند نمی‌تواند در حجم ثابت اتفاق بیفتد؛ به این دلیل که تغییرات حجم فرآیندی سه بعدی است، اعوجاج‌های کوچکی از بافت‌های اولیه می‌تواند تغییرات حجم بزرگ را سبب شود [۱۱] به همین دلیل در این پژوهش برای بررسی تغییرات جرم عناصر در

آنها می‌توان ضریب حجم را به دست آورد.  $F_V$  مناسب نقطه‌ای بر روی محور  $F_V$  است که در آن عناصر بی‌تحرک بیشتری همدیگر را در یک نقطه قطع کرده باشند [۱۲ و ۱۳]. سپس در هر نمونه برای کلیه عناصر ضریب حجم مربوط به آن نمونه را در معادله Gresens جای‌گزین کرده و بدین طریق تغییرات جرم برای آن عنصر به دست می‌آید که این نتایج تحت عنوان تغییرات مطلق در جدول ۲ ارائه شده است.

برای محاسبه تغییرات نسبی بر حسب درصد از فرمول زیر استفاده شده است که نتایج این محاسبات در ستونی تحت عنوان، تغییرات نسبی به درصد، در جدول ۲ آورده شده است.

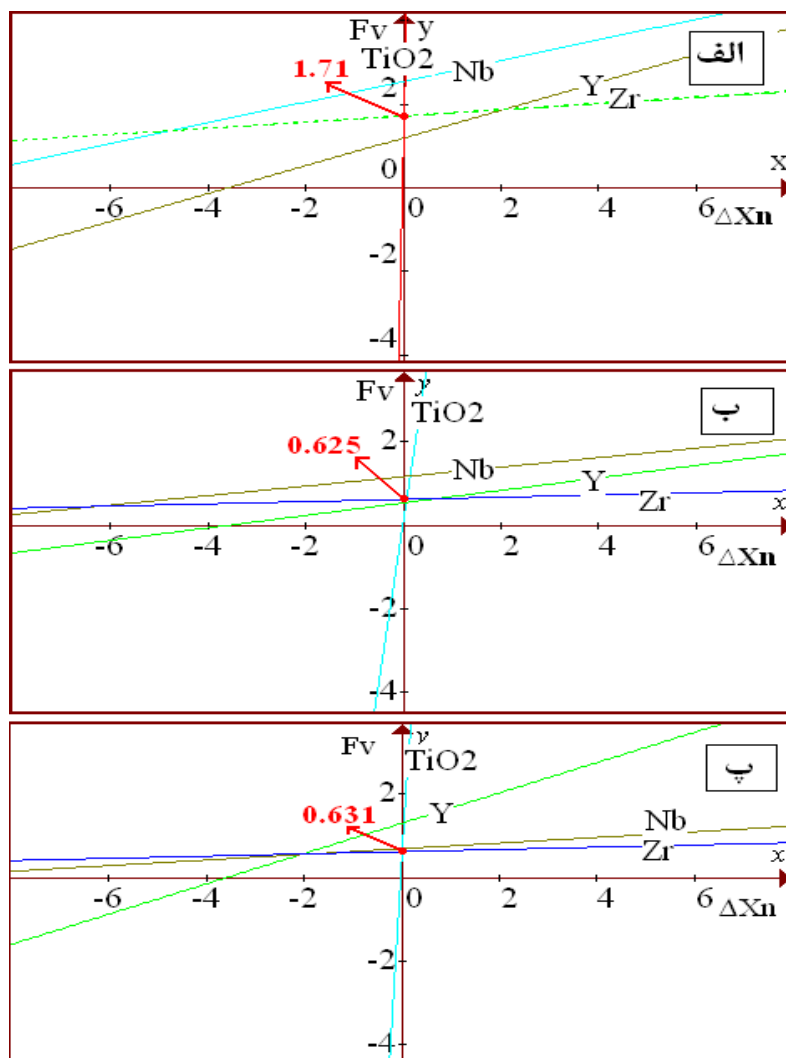
$$\text{تغییرات نسبی بر حسب درصد} = \frac{\text{مقدار مطلق عنصر در سنگ دگرسان}}{\text{مقدار عنصر در سنگ مادر}} \times 100$$

به منظور این که بتوان نتایج این تغییرات را ملmostر کرد، ستون مربوط به تغییرات نسبی بر حسب درصد برای هر سه نوع لیستونیت در نمودارهای میله‌ای در شکل‌های ۱۴، ۱۳ و ۱۵ آورده شده است. چون تغییرات عناصر بازه وسیعی دارد، برای مشاهده بهتر درصد کاهیدگی یا افزودگی عناصر از این تغییرات بدون توجه به علامت لگاریتم گرفته شده است، سپس علامت مثبت و منفی مربوط به آن در جلو این اعداد قرار داده شده است [۱۵]. به این ترتیب، نمودار کاهیدگی یا افزودگی به دست آمده است که در شکل‌های ۱۴، ۱۳ و ۱۵ نشان داده شده است. این نمودارها نشان می‌دهند که بیشترین درصد افزودگی جرم عناصر در لیستونیت سیلیسی  $\text{P}_2\text{O}_5$ ,  $\text{Cr}_2\text{O}_3$ ,  $\text{TiO}_2$ ,  $\text{K}_2\text{O}$ ,  $\text{SiO}_2$ ,  $\text{Al}_2\text{O}_3$ ,  $\text{CaO}$  (شکل ۱۳)، مربوط است به اکسیدهای  $\text{MgO}$ ,  $\text{MnO}$  به میزان ۰.۹۶٪- ۰.۵۶٪- کاهیدگی دیده می‌شود.  $\text{L.O.I}$  نیز کاهش نشان می‌دهد. در نمودار مربوط به درصد تغییرات جرم عناصر بیشترین درصد افزودگی در جیوه به میزان ۱۰.۹۴۶۹٪ دیده می‌شود، بعد از آن سرب و آرسنیک و سپس طلا، آنتیموان و مولیبدن بیشترین افزایش را نشان می‌دهند. سپس  $\text{V}$ ,  $\text{Sr}$ ,  $\text{Y}$ ,  $\text{Rb}$ ,  $\text{Zn}$ ,  $\text{Cu}$ ,  $\text{S}$  و  $\text{Ba}$  افزایش و  $\text{Co}$ ,  $\text{Nb}$ ,  $\text{Ni}$ ,  $\text{Cr}$ ,  $\text{Mn}$ ,  $\text{Cl}$  کاهش نشان می‌دهند.

همان‌طور که مشاهده می‌شود در این معادله ضریب حجم ( $volum factor$ ) و وزن مخصوص نمونه در محاسبات تغییر جرم عناصر تأثیر داده می‌شود. یادآوری می‌شود که برای استفاده از فرمول برای هر نمونه باید جرم از ۱۰۰ گرم باشد به همین علت یا باید مقدار تمام عناصر را برای رسیدن به مجموع ۱۰۰ سرشکن کرد و یا مقدار جرم کل نمونه را در فرمول فوق تأثیر داد.

اگر در هر نمونه برای هر عنصر رابطه Gresens مربوط به آن لحاظ شود، مشاهده می‌شود که برای هر عنصر، دو مجھول  $\Delta X_n$  و  $F_V$  وجود دارد. این دو مجھول را برای فهم بهتر می‌توان  $X$  و  $Y$  مربوط به یک معادله خطی به صورت  $Y=aX+b$  که در آن  $\Delta X_n$  معادل  $X$  و  $F_V$  معادل  $Y$  است، در نظر گرفت. برای همه عناصر بی‌تحرک یا کم تحرک (عناصر با تغییرات اندک در ضمن دگرسانی) در هر نمونه می‌توان خطی رسم کرد که محور  $X$  آن، تغییرات جرم و محور  $Y$  آن، ضریب حجم ( $F_V$ ) باشد، با این کار برای هر عنصر بی‌تحرک، خط راستی به دست می‌آید. تخمینی از ضریب حجم را می‌توان به کمک نقطه تلاقی خطوط مربوط به عناصر بی‌تحرک در گراف به دست آورد. چون فرض بر این است که در طی دگرسانی عناصر بی‌تحرک تغییر جرم کمتری دارند، محلی بر روی نمودار که در آن عناصر بی‌تحرک تغییرات جرم صفر را نشان می‌دهند ( $\Delta X_n=0$ ) یا در واقع نقطه تلاقی خطوط مربوط به عناصر بی‌تحرک بر روی محور  $Y$  (محور  $F_V$ ) را می‌توان تخمینی از ضریب حجم در نظر گرفت [۱۲ و ۱۴]. مقدار ۱ برای ضریب حجم نشان‌دهنده این است که حجم تغییری نکرده است، اگر ضریب حجم بیشتر از ۱ به دست بیاید یعنی افزایش حجم و در صورتی که کمتر از یک به دست بیاید بدین معنی است که فرآیند آلتراسیون با کاهش حجم همراه بوده است [۱۳].

ترکیبات و عناصری همچون  $\text{Y}$ ,  $\text{TiO}_2$ ,  $\text{Hf}$ ,  $\text{Nb}$ ,  $\text{Zr}$ ,  $\text{Al}_2\text{O}_3$ ,  $\text{Zr}$  در طی دگرسانی تقریباً بی‌تحرکند و با در نظر گرفتن این مسئله در این پژوهش، همان‌طور که در شکل ۱۲ ملاحظه می‌شود، سعی شده که برای جلوگیری از پیچیدگی کار فقط نمودار مربوط به این عناصر رسم شود و از آوردن دیگر نمودارها خودداری شده است. با توجه به اینکه دو نمودار مربوط به  $\text{TiO}_2$  و  $\text{Zr}$  در هر سه گراف بر روی محور  $Y$  (تغییرات جرم صفر) همدیگر را قطع کرده‌اند، از محل تلاقی



شکل ۱۲. نمودار تعیین ضریب حجم در، (الف) لیستونیت سیلیسی، (ب) سیلیسی-کربناته و (پ) کربناته. محل تلاقی نمودار  $Zr$  و  $TiO_2$  را با خط (محور y)، برابر مقدار  $Fv$  در نظر گرفته می‌شود. در واقع تغییرات جرم عناصر بی‌تحرک صفر فرض می‌شود.

$K_2O$  و  $L.O.I$  به ترتیب به میزان ۴۱۶۳٪، ۸۱/۲۹٪، ۱/۸٪ و بیشترین کاهش در درصد اکسیدها، مربوط است به  $MgO$ ,  $P_2O_5$ ,  $Cr_2O_3$ ,  $Fe_2O_3$ ,  $Al_2O_3$ ,  $TiO_2$ ,  $Na_2O$ ,  $SiO_2$  میزان ۷۰/۳٪، ۵۸/۲۸٪، ۶۵/۵٪، ۶۵٪، ۴۶٪، ۴۱/۸٪، ۵۱/۶٪، ۲۸٪ و ۳۶٪. همچنین بیشترین درصد افزایش در عناصر، مربوط است به  $Nb$ ,  $Sr$ ,  $Zr$ ,  $Cu$ ,  $As$  و  $Cr$ ,  $Rb$ ,  $Pb$ ,  $Y$ ,  $S$ ,  $Ni$ ,  $C$ ,  $Zn$ ,  $Cl$ ,  $Pb$ ,  $Ba$ ,  $As$  و عناصر کاهش می‌یابند.

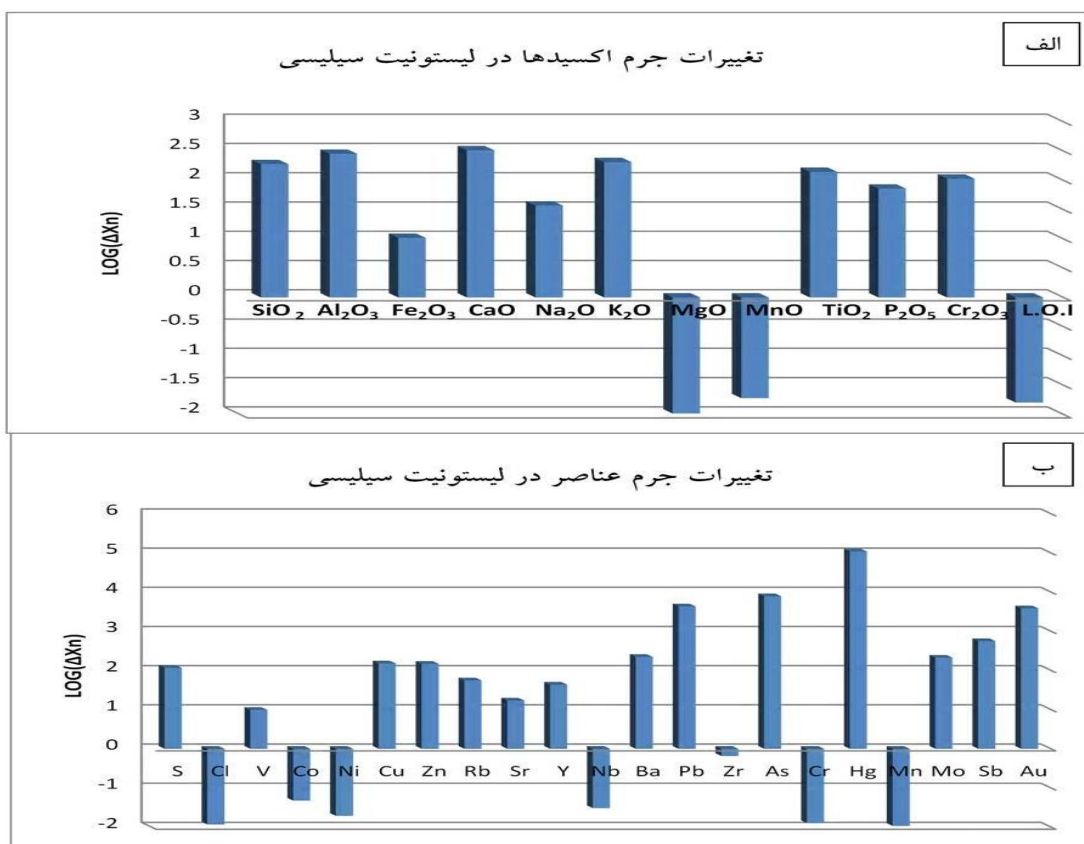
در شکل ۱۶ نیز نمودار لگاریتم درصد تغییرات جرم عناصر و اکسیدها در هر سه نوع لیستونیت برای مقایسه به صورت خطی آورده شده است. در این نمودار مقایسه تغییرات جرم عناصر به‌وضوح امکان پذیر است.

در لیستونیت سیلیسی-کربناته همان‌طور که در نمودارهای شکل ۱۴ ملاحظه می‌شود بیشترین درصد افزایش به ترتیب در اکسیدهای  $Na_2O$ ,  $Al_2O_3$ ,  $K_2O$ ,  $TiO_2$ ,  $CaO$  به ترتیب به میزان ۵۵٪، ۴۳٪، ۴۸٪، ۴۹٪، ۲۸٪ دیده می‌شود و بیشترین درصد کاهیدگی در اکسیدهای  $P_2O_5$ ,  $MnO$ ,  $Fe_2O_3$ ,  $Cr_2O_3$ ,  $SiO_2$ ,  $MgO$ ,  $As$  به میزان ۱۰٪، ۱۳٪، ۲۷٪ و ۴۴٪ دیده می‌شود. در این نمودار همین‌طور در عناصر  $Y$ ,  $Cu$ ,  $Pb$ ,  $Sr$ ,  $Ba$ ,  $As$  افزایش و  $Cr$ ,  $V$ ,  $CO$ ,  $Ni$ ,  $S$ ,  $Nb$ ,  $Cl$ ,  $Cr$  کاهش نشان می‌دهند.

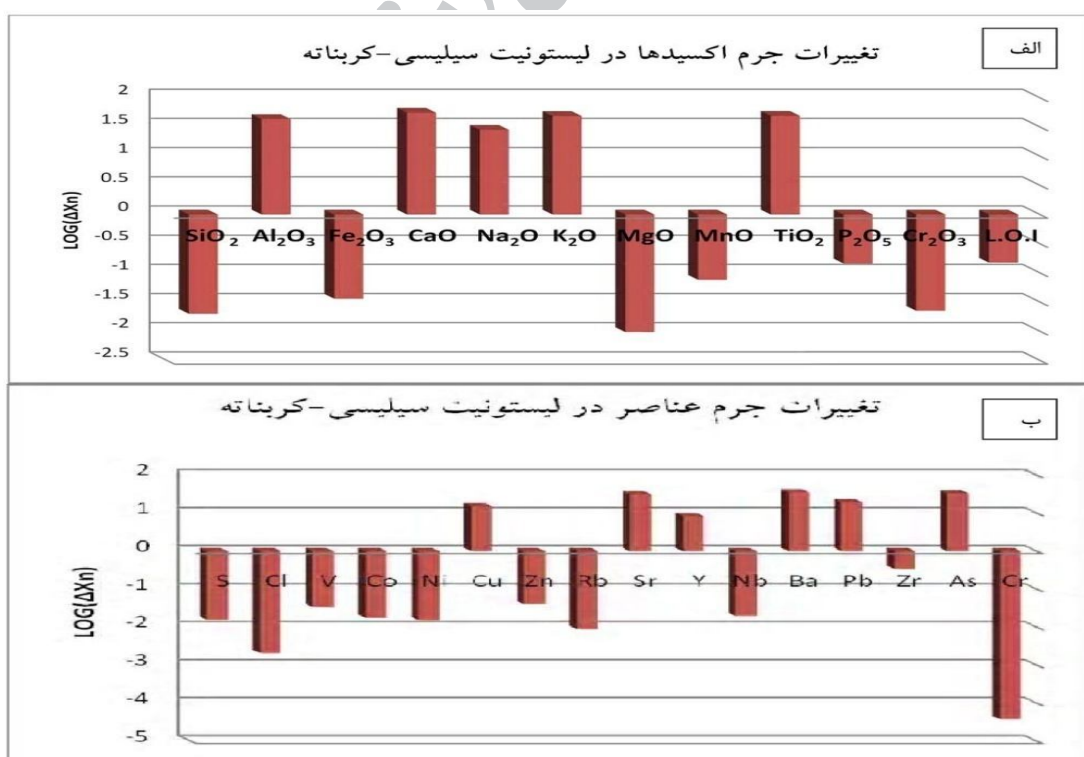
چنان‌که در نمودار مربوط به لیستونیت نوع کربناته نیز دیده می‌شود بیشترین افزایش در اکسیدها مربوط است به  $CaO$ .

جدول ۲. نتایج محاسبات مربوط به سه نوع لیستوتیت سیلیسی، سیلیسی-کربناته و کربناته برای به دست آوردن تغییرات نسبی هر عنصر نسبت به سنج نانگره‌سان.

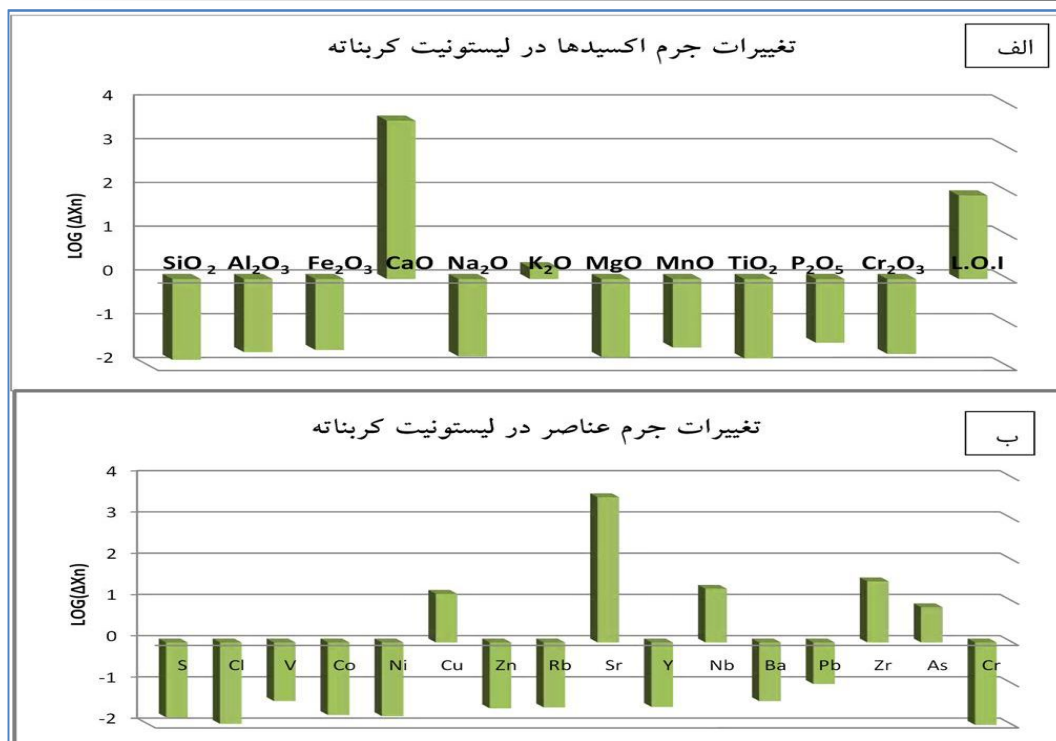
عنصر	نمودار نسبی به درصد(٪) ( $\Delta Xn$ )	تغییرات مطلق سیلیسی-کربناته ( $\Delta Xn$ )	تغییرات مطلق سیلیسی ( $\Delta Xn$ )	تغییرات مطلق کربناته لیستوتیت سیلیسی-کربناته ( $\Delta Xn$ )	تغییرات مطلق کربناته لیستوتیت سیلیسی ( $\Delta Xn$ )	تغییرات مطلق کربناته لیستوتیت سیلیسی-کربناته ( $\Delta Xn$ )	تغییرات مطلق کربناته لیستوتیت سیلیسی-کربناته ( $\Delta Xn$ )	تغییرات مطلق کربناته لیستوتیت سیلیسی ( $\Delta Xn$ )	تغییرات مطلق کربناته لیستوتیت سیلیسی-کربناته ( $\Delta Xn$ )	تغییرات مطلق کربناته لیستوتیت سیلیسی ( $\Delta Xn$ )
F <sub>V</sub>	۱/۹۵	۱/۹۶	۱/۹۷	۱/۹۸	۱/۹۹	۱/۹۹	۱/۹۹	۱/۹۹	۱/۹۹	۱/۹۹
SiO <sub>2</sub>	۳۷/۷*	۸۲/۶*	۸۲/۶*	۸۲/۶*	۸۲/۶*	۸۲/۶*	۸۲/۶*	۸۲/۶*	۸۲/۶*	۸۲/۶*
Al <sub>2</sub> O <sub>3</sub>	۸/۳۴*	۹/۶*	۹/۶*	۹/۶*	۹/۶*	۹/۶*	۹/۶*	۹/۶*	۹/۶*	۹/۶*
Fe <sub>2</sub> O <sub>3</sub>	۸/۳۷	۸/۸۷	۸/۸۷	۸/۸۷	۸/۸۷	۸/۸۷	۸/۸۷	۸/۸۷	۸/۸۷	۸/۸۷
CaO	۰/۷۲*	۰/۸۳	۰/۸۳	۰/۸۳	۰/۸۳	۰/۸۳	۰/۸۳	۰/۸۳	۰/۸۳	۰/۸۳
Na <sub>2</sub> O	۰/۱*	۰/۱*	۰/۱*	۰/۱*	۰/۱*	۰/۱*	۰/۱*	۰/۱*	۰/۱*	۰/۱*
K <sub>2</sub> O	۰/۰۲	۰/۰۲	۰/۰۲	۰/۰۲	۰/۰۲	۰/۰۲	۰/۰۲	۰/۰۲	۰/۰۲	۰/۰۲
MgO	۳۴/۷۴*	۳۳/۴۲*	۳۳/۴۲*	۳۳/۴۲*	۳۳/۴۲*	۳۳/۴۲*	۳۳/۴۲*	۳۳/۴۲*	۳۳/۴۲*	۳۳/۴۲*
MnO	۰/۱۱	۰/۱۴	۰/۱۴	۰/۱۴	۰/۱۴	۰/۱۴	۰/۱۴	۰/۱۴	۰/۱۴	۰/۱۴
TiO <sub>2</sub>	۰/۰۱	۰/۰۲	۰/۰۲	۰/۰۲	۰/۰۲	۰/۰۲	۰/۰۲	۰/۰۲	۰/۰۲	۰/۰۲
P <sub>2</sub> O <sub>5</sub>	۰/۰۲	۰/۰۲	۰/۰۲	۰/۰۲	۰/۰۲	۰/۰۲	۰/۰۲	۰/۰۲	۰/۰۲	۰/۰۲
Cr <sub>2</sub> O <sub>3</sub>	۰/۰۲	۰/۰۴	۰/۰۴	۰/۰۴	۰/۰۴	۰/۰۴	۰/۰۴	۰/۰۴	۰/۰۴	۰/۰۴
L <sub>2</sub> O <sub>1</sub>	۱۳/۱۶	۱۳/۱۶	۱۳/۱۶	۱۳/۱۶	۱۳/۱۶	۱۳/۱۶	۱۳/۱۶	۱۳/۱۶	۱۳/۱۶	۱۳/۱۶
S	۱۲/۱۶	۱۲/۰۰	۱۲/۰۰	۱۲/۰۰	۱۲/۰۰	۱۲/۰۰	۱۲/۰۰	۱۲/۰۰	۱۲/۰۰	۱۲/۰۰
Cl	۵۷/۲۴	۴۹/۵۲	۴۹/۵۲	۴۹/۵۲	۴۹/۵۲	۴۹/۵۲	۴۹/۵۲	۴۹/۵۲	۴۹/۵۲	۴۹/۵۲
V	۴۵/۱۸	۳۸/۰۸	۳۸/۰۸	۳۸/۰۸	۳۸/۰۸	۳۸/۰۸	۳۸/۰۸	۳۸/۰۸	۳۸/۰۸	۳۸/۰۸
Co	۱۸/۱۷*	۹/۶۱	۹/۶۱	۹/۶۱	۹/۶۱	۹/۶۱	۹/۶۱	۹/۶۱	۹/۶۱	۹/۶۱
Ni	۲۵/۰۹/۰۵	-۱۲/۰۵/۳۴	-۱۲/۰۵/۳۴	-۱۲/۰۵/۳۴	-۱۲/۰۵/۳۴	-۱۲/۰۵/۳۴	-۱۲/۰۵/۳۴	-۱۲/۰۵/۳۴	-۱۲/۰۵/۳۴	-۱۲/۰۵/۳۴
Cu	۱/۹۹	۱/۸۵	۱/۸۵	۱/۸۵	۱/۸۵	۱/۸۵	۱/۸۵	۱/۸۵	۱/۸۵	۱/۸۵
Zn	۳/۰/۰۴	۰/۲۱/۲۸	۰/۲۱/۲۸	۰/۲۱/۲۸	۰/۲۱/۲۸	۰/۲۱/۲۸	۰/۲۱/۲۸	۰/۲۱/۲۸	۰/۲۱/۲۸	۰/۲۱/۲۸
Rb	۲۲/۱/۱	۱۷/۱/۱۵	۱۷/۱/۱۵	۱۷/۱/۱۵	۱۷/۱/۱۵	۱۷/۱/۱۵	۱۷/۱/۱۵	۱۷/۱/۱۵	۱۷/۱/۱۵	۱۷/۱/۱۵
Sr	۱/۱۲/۱	۱/۷/۰۸	۱/۷/۰۸	۱/۷/۰۸	۱/۷/۰۸	۱/۷/۰۸	۱/۷/۰۸	۱/۷/۰۸	۱/۷/۰۸	۱/۷/۰۸
Y	۲/۱۸/۴	۱/۵/۸۴	۱/۵/۸۴	۱/۵/۸۴	۱/۵/۸۴	۱/۵/۸۴	۱/۵/۸۴	۱/۵/۸۴	۱/۵/۸۴	۱/۵/۸۴
Nb	۱/۱۷/۱	۰/۱۱/۰۱	۰/۱۱/۰۱	۰/۱۱/۰۱	۰/۱۱/۰۱	۰/۱۱/۰۱	۰/۱۱/۰۱	۰/۱۱/۰۱	۰/۱۱/۰۱	۰/۱۱/۰۱
Ba	۱۷/۱/۱۷	۱۲/۱/۲۹	۱۲/۱/۲۹	۱۲/۱/۲۹	۱۲/۱/۲۹	۱۲/۱/۲۹	۱۲/۱/۲۹	۱۲/۱/۲۹	۱۲/۱/۲۹	۱۲/۱/۲۹
Pb	۱۵/۱۵	۱۱/۱۷/۱۶	۱۱/۱۷/۱۶	۱۱/۱۷/۱۶	۱۱/۱۷/۱۶	۱۱/۱۷/۱۶	۱۱/۱۷/۱۶	۱۱/۱۷/۱۶	۱۱/۱۷/۱۶	۱۱/۱۷/۱۶
Zr	۱۲/۱۴	۰/۱۰/۱۵	۰/۱۰/۱۵	۰/۱۰/۱۵	۰/۱۰/۱۵	۰/۱۰/۱۵	۰/۱۰/۱۵	۰/۱۰/۱۵	۰/۱۰/۱۵	۰/۱۰/۱۵
As	۰/۱۹	۲۲/۹/۱۲	۲۲/۹/۱۲	۲۲/۹/۱۲	۲۲/۹/۱۲	۲۲/۹/۱۲	۲۲/۹/۱۲	۲۲/۹/۱۲	۲۲/۹/۱۲	۲۲/۹/۱۲
Cr	۱۷/۱/۱۷	-۰/۹/۲۷	-۰/۹/۲۷	-۰/۹/۲۷	-۰/۹/۲۷	-۰/۹/۲۷	-۰/۹/۲۷	-۰/۹/۲۷	-۰/۹/۲۷	-۰/۹/۲۷
Hg	۰/۱۸	۰/۱۱/۳۴	۰/۱۱/۳۴	۰/۱۱/۳۴	۰/۱۱/۳۴	۰/۱۱/۳۴	۰/۱۱/۳۴	۰/۱۱/۳۴	۰/۱۱/۳۴	۰/۱۱/۳۴
Mn	۰/۸۵/۴۵	۱/۹/۷۸	۱/۹/۷۸	۱/۹/۷۸	۱/۹/۷۸	۱/۹/۷۸	۱/۹/۷۸	۱/۹/۷۸	۱/۹/۷۸	۱/۹/۷۸
Mo	۰/۹۲	۱/۰/۲۳	۱/۰/۲۳	۱/۰/۲۳	۱/۰/۲۳	۱/۰/۲۳	۱/۰/۲۳	۱/۰/۲۳	۱/۰/۲۳	۱/۰/۲۳
Sb	۳/۰/۰۲	۰/۱۷/۹۷	۰/۱۷/۹۷	۰/۱۷/۹۷	۰/۱۷/۹۷	۰/۱۷/۹۷	۰/۱۷/۹۷	۰/۱۷/۹۷	۰/۱۷/۹۷	۰/۱۷/۹۷
Au	۰/۰۰	۰/۰۱/۷۱	۰/۰۱/۷۱	۰/۰۱/۷۱	۰/۰۱/۷۱	۰/۰۱/۷۱	۰/۰۱/۷۱	۰/۰۱/۷۱	۰/۰۱/۷۱	۰/۰۱/۷۱
جمع	۱۰۰/۰۰	۱۰۰/۰۰	۱۰۰/۰۰	۱۰۰/۰۰	۱۰۰/۰۰	۱۰۰/۰۰	۱۰۰/۰۰	۱۰۰/۰۰	۱۰۰/۰۰	۱۰۰/۰۰



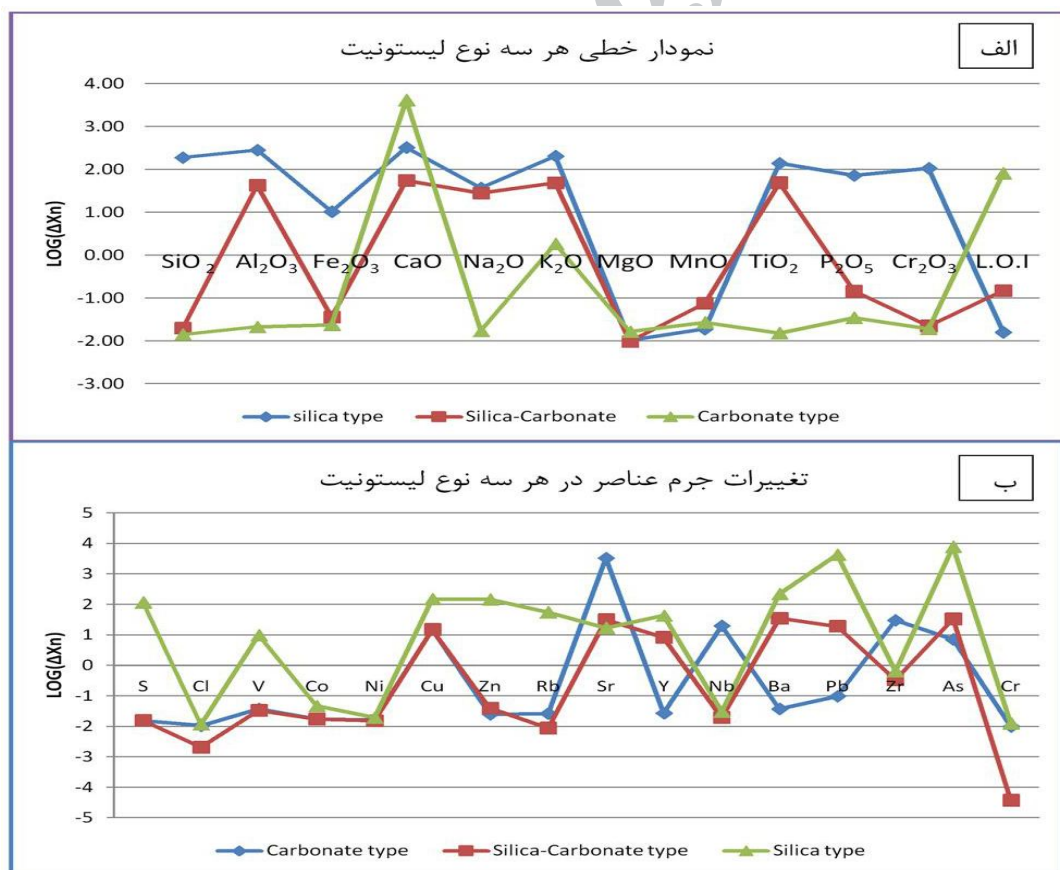
شکل ۱۳. الف) لگاریتم درصد تغییرات جرم اکسیدها در لیستونیت سیلیسی و ب) لگاریتم درصد تغییرات جرم عنصر در لیستونیت سیلیسی.



شکل ۱۴. الف) لگاریتم درصد تغییرات جرم اکسیدها در لیستونیت سیلیسی-کربناته و ب) لگاریتم درصد تغییرات جرم عنصر در لیستونیت سیلیسی-کربناته.



شکل ۱۵. الف) لگاریتم درصد تغییرات جرم اکسیدها در لیستونیت کربناته و ب) لگاریتم درصد تغییرات جرم عناصر در لیستونیت کربناته.



شکل ۱۶. الف) نمودار لگاریتم درصد تغییرات جرم اکسیدها در هر سه نوع لیستونیت سیلیسی، سیلیسی-کربناته و کربناته، ب) نمودار لگاریتم درصد تغییرات جرم عناصر در هر سه نوع لیستونیت.

می‌توان چنین توجیه کرد که این عناصر از محلولهای گرمابی به سنگ اضافه شده‌اند.

#### منابع

- [1] Sazanov V. N., "Listwaenitization and ore mineralization", Russian academy of science, the Ural Scientific Center, A. N Sawaritikys institute of geology and geochemistry (1975).
- [2] Barnes I., "Formation of listwaenites from serpentinites in California Doklady", Mezhdunarodny Geokhimicheskij kongress 2 (1973) 404-412.
- [3] Laznicka , P., "Emirical metallogeny" , part a & b , Elsevier scince pub (1985).
- [4] امامعلی پور ع.، "متالوژنی افیولیت خوی با نگرشی ویژه بر انباسته‌های سولفوری در آتشفسانیهای زیردریایی قزل داش خوی"، رساله دکتری ، دانشکده علوم زمین ، دانشگاه شهید بهشتی، (۱۳۸۰).
- [5] Mackizadeh M. A., Noghreian M., Mohammadi F., "Listvenites as targets for Au-Hg mineralization in Central Iran ophiolites", The 1<sup>st</sup> International Applied Geological Congress, Department of Geology, Islamic Azad University - Mashad Branch, Iran ( 2010) 26-28.
- [6] محمدی ف.، نقره‌ئیان م.، مکی‌زاده م.ع، وهابی‌مقدم ب.، "دگرسانیهای گرمابی و کانی‌زایی طلا در افیولیت نائین، شمال کوه زرد، شرق اصفهان"، دومین همایش علوم زمین، (۱۳۹۰).
- [7] سعیدی م.، فلاحتی س.، نقره‌بیان م.، خلیلی م.، "کانی‌شناسی، زمین‌شیمی و چگونگی تشکیل سرپانتینیت‌های کربناتی-سیلیسی (لیستونیت) شمال نایین (با خبر ایران مرکزی)" ، مجله کانی‌شناسی و بلورشناسی، سال هفدهم، شماره ۳ (۱۳۸۸) ص ۴۰۵-۴۱۸.
- [8] امامعلی پور ع.، "بررسی فلززایی ذخایر معدنی در گستره استان آذربایجان غربی"، گزارش نهایی طرح تحقیقاتی، دانشگاه ارومیه، (۱۳۸۷).
- [9] امامعلی پور ع. و عبدالهی شریف، ج، "بررسی ژئوشیمی کانی‌سازی جیوه و تأثیر زیست محیطی آن بر منطقه طوره"، مجله زمین‌شناسی اقتصادی، جلد ۳ شماره ۲ (۱۳۹۰) ص ۱۸۳-۱۹۲.
- [10] امامعلی پور ع.، "ژئوشیمی و محیط زمین‌شناسی کرومیتیت‌های ناحیه الند از مجموعه افیولیتی خوی، شمال

#### نتیجه‌گیری

هجوم محلولهای گرمابی به سرپانتینیت‌های منطقه طوره سبب دگرسانی آنها و تشکیل لیستونیت‌های این ناحیه شده است. منشأ این سیالات، گرمشدن آبهای سطحی فرورو در اعمق تحت تأثیر فعالیتهای آتشفسانی نئوژن در منطقه بوده است. با توجه به همیافتدی لیستونیت‌ها با پریدوتیت‌های سرپانتینیتی شده و قرارگیری آنها در امتداد گسلها و مناطق برشی شده، از نوع نهشت‌های دیرزاد می‌باشند. بر پایه مطالعات کانی‌شناسی، ویژگیهای ژئوشیمیایی، روابط صحرایی و حتی رنگ، لیستونیت‌های ناحیه را می‌توان به سه نوع سیلیسی (بیربیریت)، سیلیسی-کربناته و کربناته تقسیم نمود. لیستونیت سیلیسی میزبان کانی‌سازی جیوه مقدار  $\text{SiO}_2$  بالا و L.O.I پایین دارد، در حالی که در لیستونیت کربناته درصد مواد فرار (L.O.I) بالا و فراوانی  $\text{SiO}_2$  پایین است. لیستونیت سیلیسی-کربناته حد وسط دو نوع بالایی است. این سه نوع لیستونیت در نمودارهای ژئوشیمیایی قابل تفکیک هستند. لیستونیت‌های سیلیسی (و کانی‌سازی جیوه همراه آن) در همیری تکتونیکی سرپانتینیت و نهشت‌های رسوبی پالوسن (شیل و مارن) به وجود آمده‌اند. لیستونیت‌های کربناته و سیلیسی-کربناته نیز به ساختارهای تکتونیکی (زون‌های برشی و گسلهای رانده در گستره سرپانتینیت‌ها) محدود می‌شوند. از نظر کانی‌شناسی، لیستونیت‌های سیلیسی عمدتاً از کوارتز، کلسیدونی، اوپال (مجموعه‌ای که می‌توان بدان ژاسپیر و ایلکاتر اطلاق کرد) با مقادیر فرعی کلسیت، منیزیت، دولومیت و کانیهای رسی تشکیل شده است، در حالی که لیستونیت‌های کربناته عمدتاً از کانیهای کربناته همچون کلسیت، دولومیت، منیزیت، در مواردی سیدریت، با مقادیر فرعی کانیهای سیلیسی تشکیل شده‌اند. ترکیب کانی‌شناسی انواع سیلیسی-کربناته بینابین دو نوع یاد شده است. رنگ لیستونیت‌های سیلیسی خاکستری تا سفید و رنگ انواع کربناته و سیلیسی-کربناته زرد و پر تقالی است.

لیستونیت‌های سیلیسی، علاوه بر جیوه در مقدار عناصر آرسنیک، سرب و طلا نیز غنی‌شدگی نشان می‌دهند. از آن جا که سنگهای اولیه لیستونیت‌های این ناحیه از نوع سرپانتینیت (پریدوتیت گوشته‌ای تهی شده) هستند، از این رو باستی عناصر لیتوفیل با شعاع یونی بزرگ (LIL) نسبت به کندیریت کاهش یابند اما در مقدار آنها افزایش دیده می‌شود و این را

*California", Canadian Inistitue of Mining, Mineralurgy and Petroleum 4 (1995).*

[14] Sketchley A. D., "Gains and losses of elements resulting from wallrock alteration a quantitative basis for evaluating lithogeochemical samples", Department of Geological Science., the University of british Columbia (1986).

[۱۵] زرین کوب م. ح، امینی ص، آفتابی ع، کریمپور م. ح، "کانی‌شناسی، زمین‌شیمی، موقعیت ساختمانی و ارائه مدل ژنتیکی برای لیستونیت‌های خاور ایران"، مجله بلور‌شناسی و کانی‌شناسی ایران، سال سیزدهم، شماره ۲ (۱۳۸۴) ص ۳۶۳-۳۷۸.

باخترا ایران"، علوم‌زمین، سال بیستم، شماره ۸۰ (۱۳۹۰) ص ۴۷-۵۶

[11] Gresens R.L., Gresens R.L., "Cornposhon-Volume Relationships of metasomatism", Chemical Geology 2 (1967) 47-65.

[12] Maxeiner R. O., Watters B. R., "Alteration in the hanson lake Area: A Metasomatic evaluation", Saskatchewan geological survey, sask. Energy Misc. Report (1992) 4-92.

[13] Sherlock R.L., "Silica-carbonate Alteration of serpentinite: Implication for the Association of mercury and gold mineralization in Northern